

FIG. 1

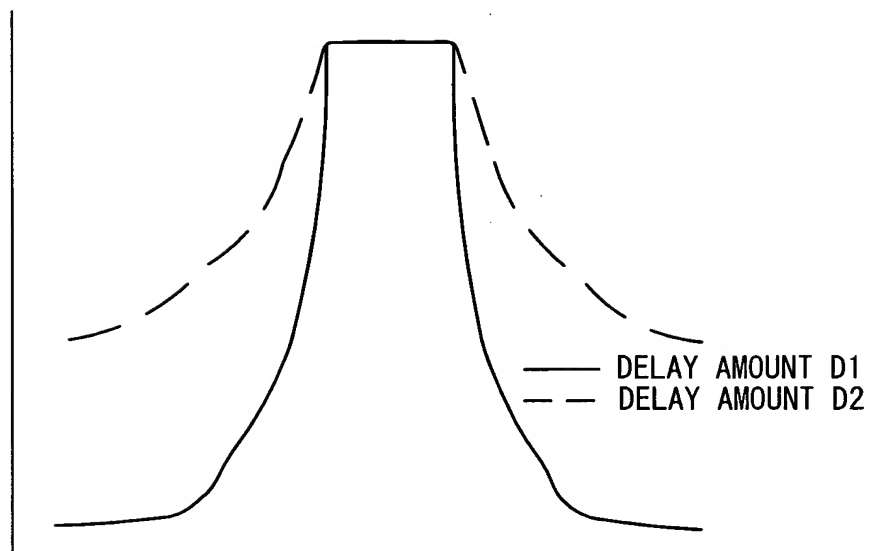


FIG. 2

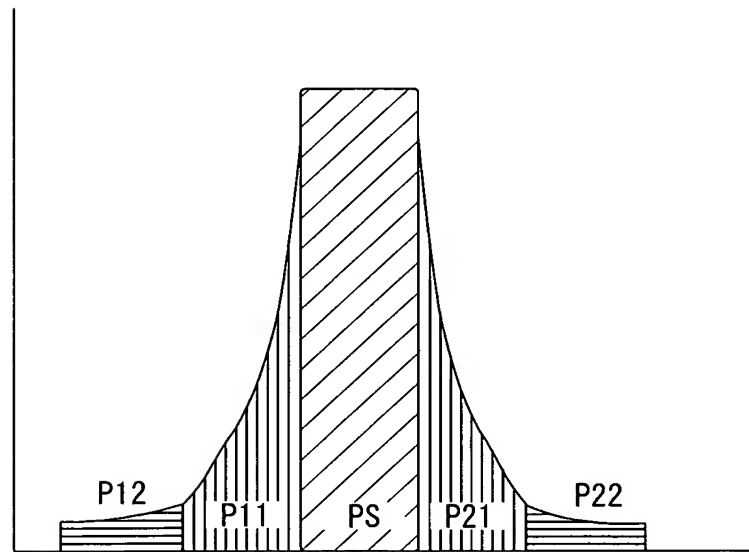


FIG. 3

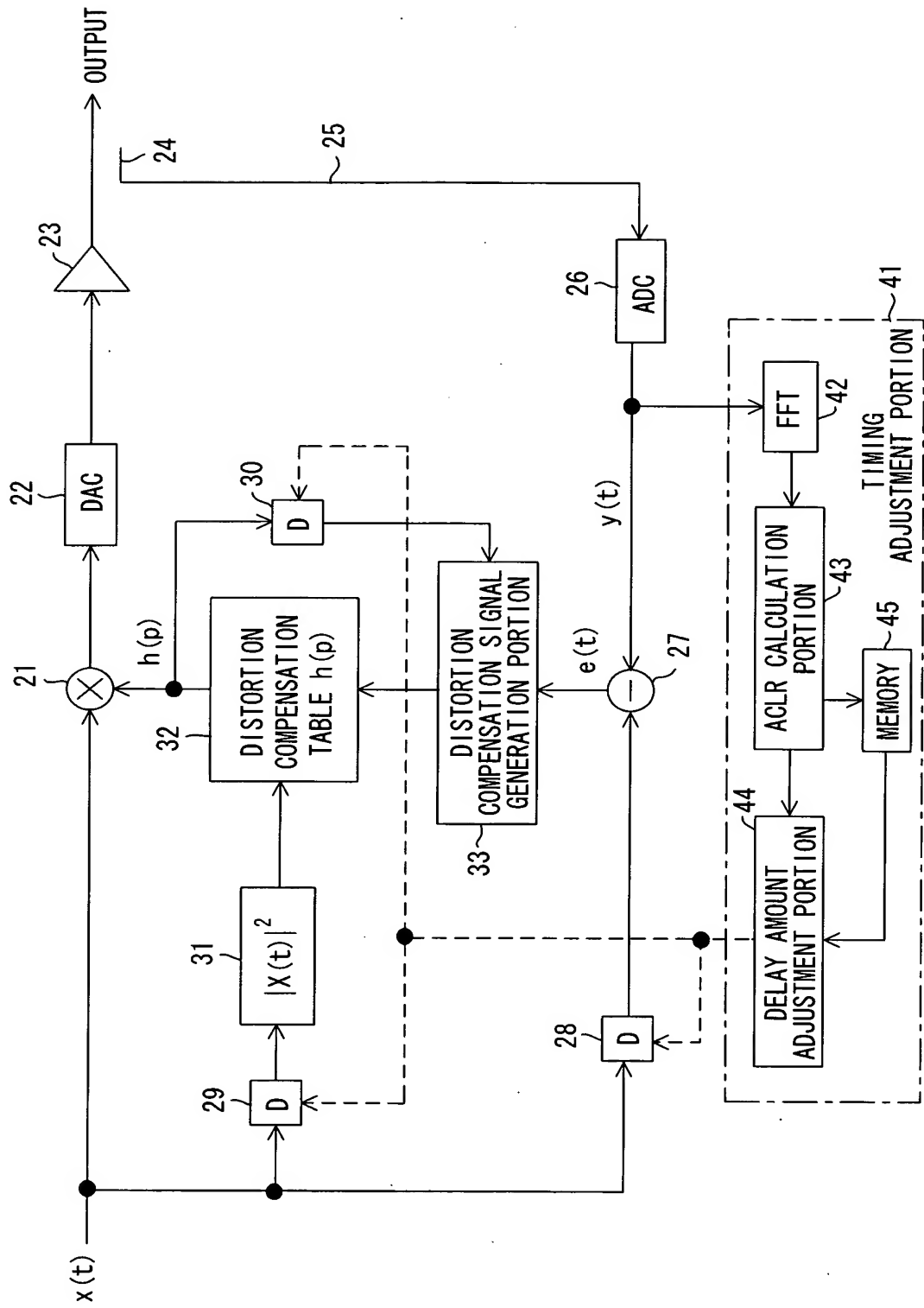
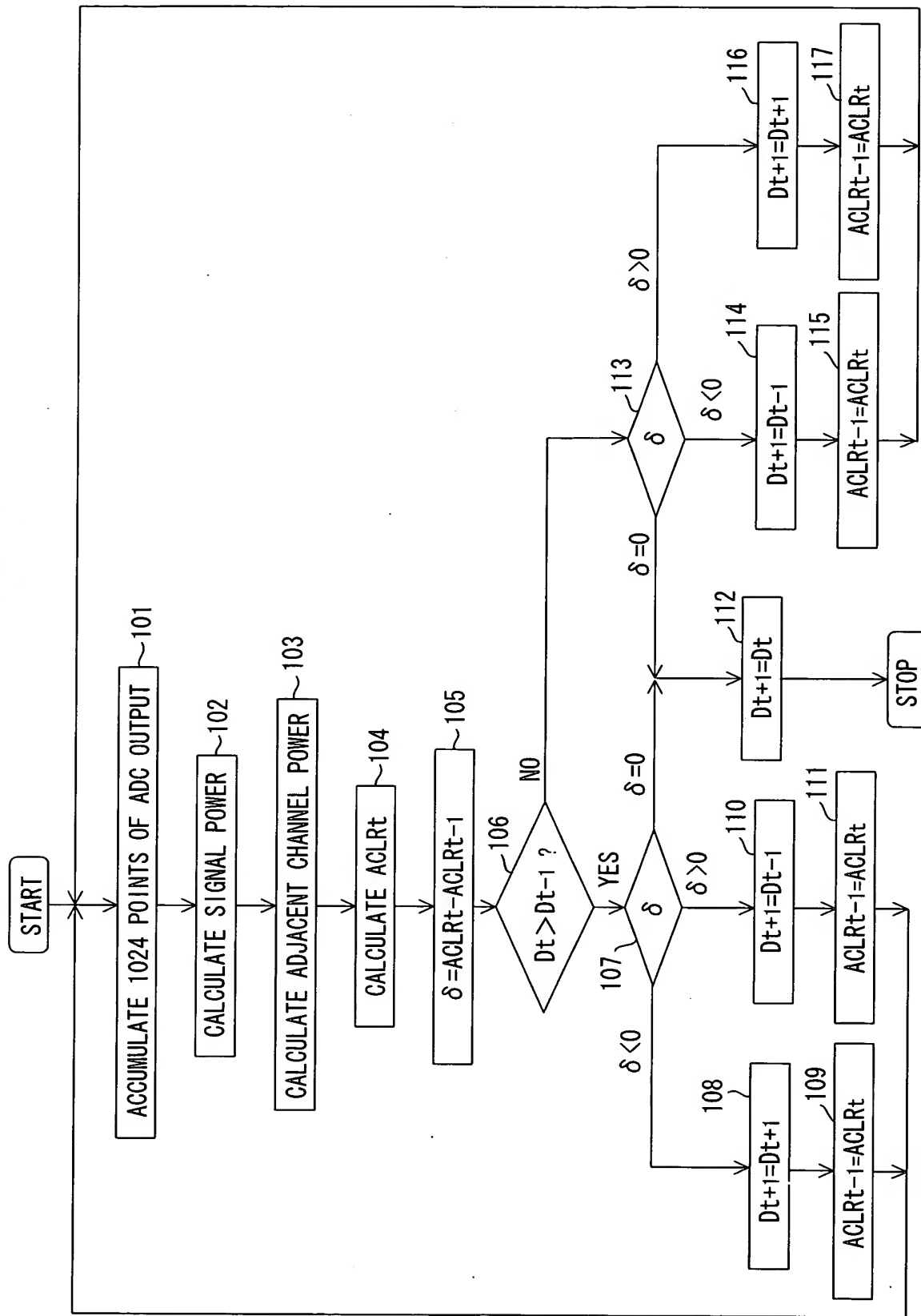


FIG. 4



4/28
FIG. 5

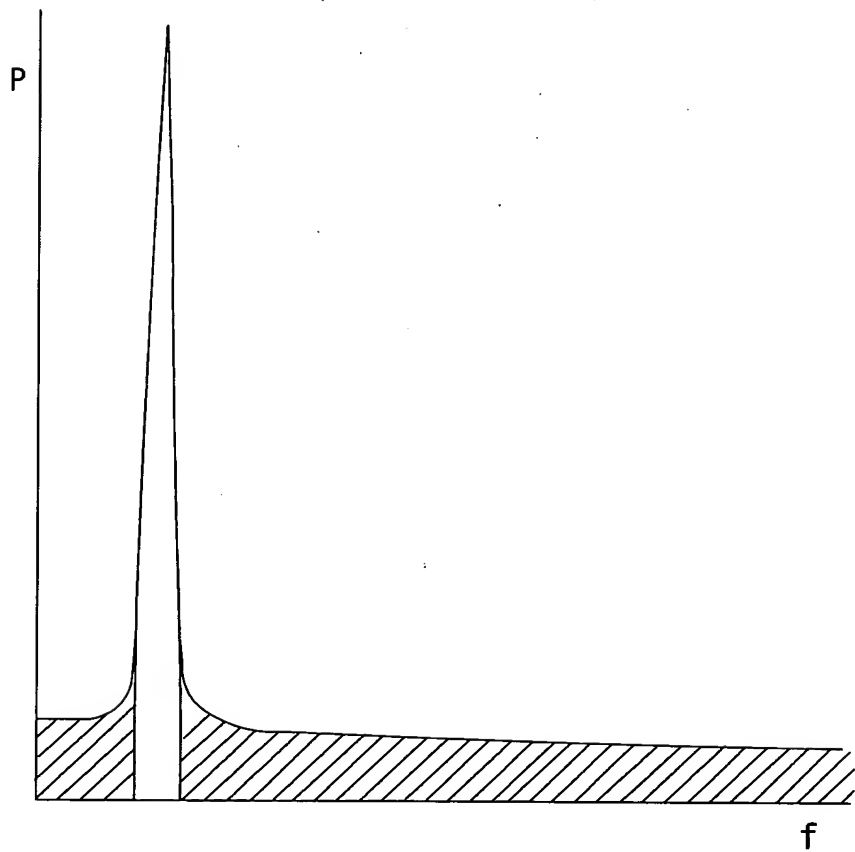


FIG. 6

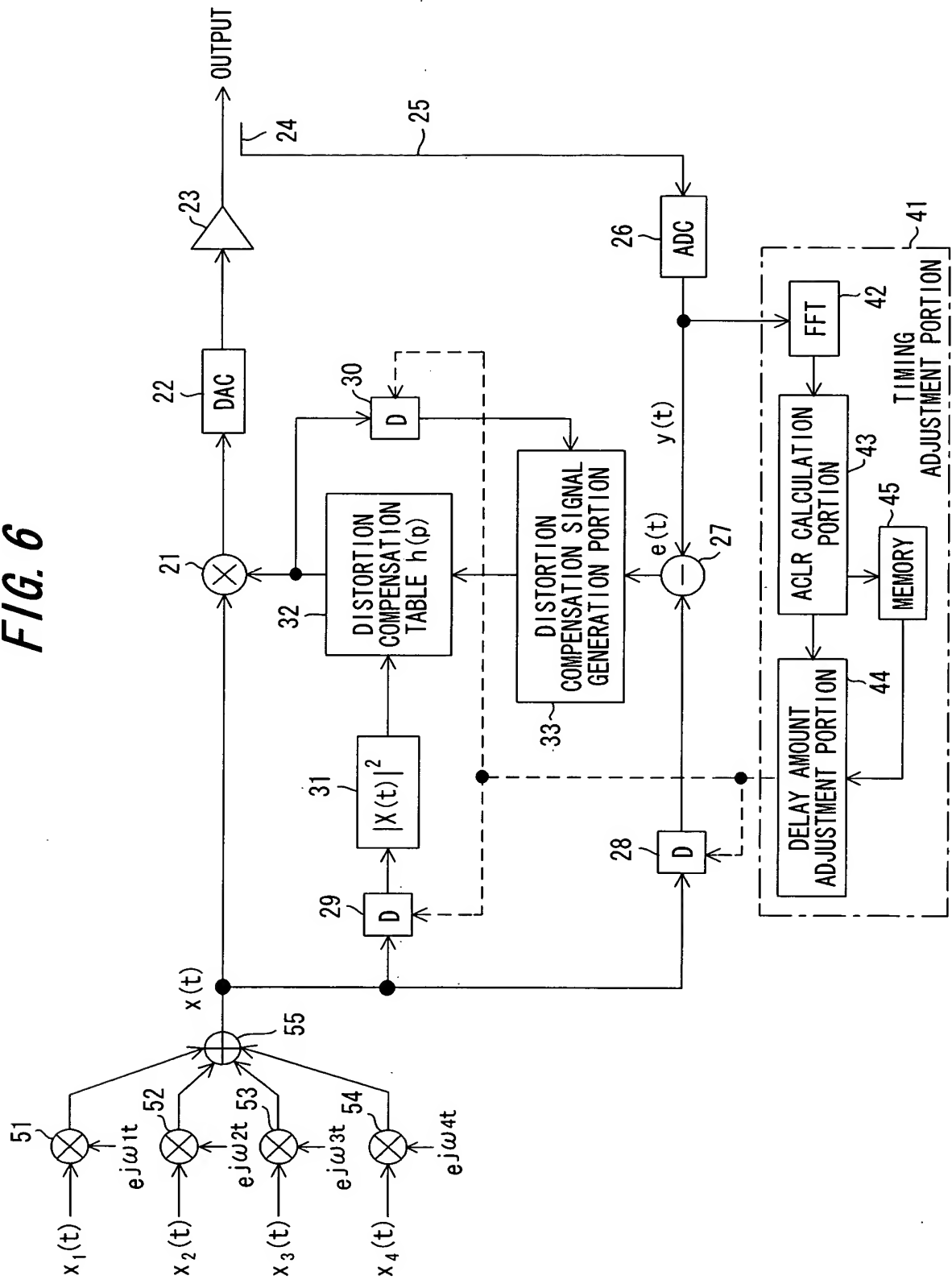


FIG. 7

6/28

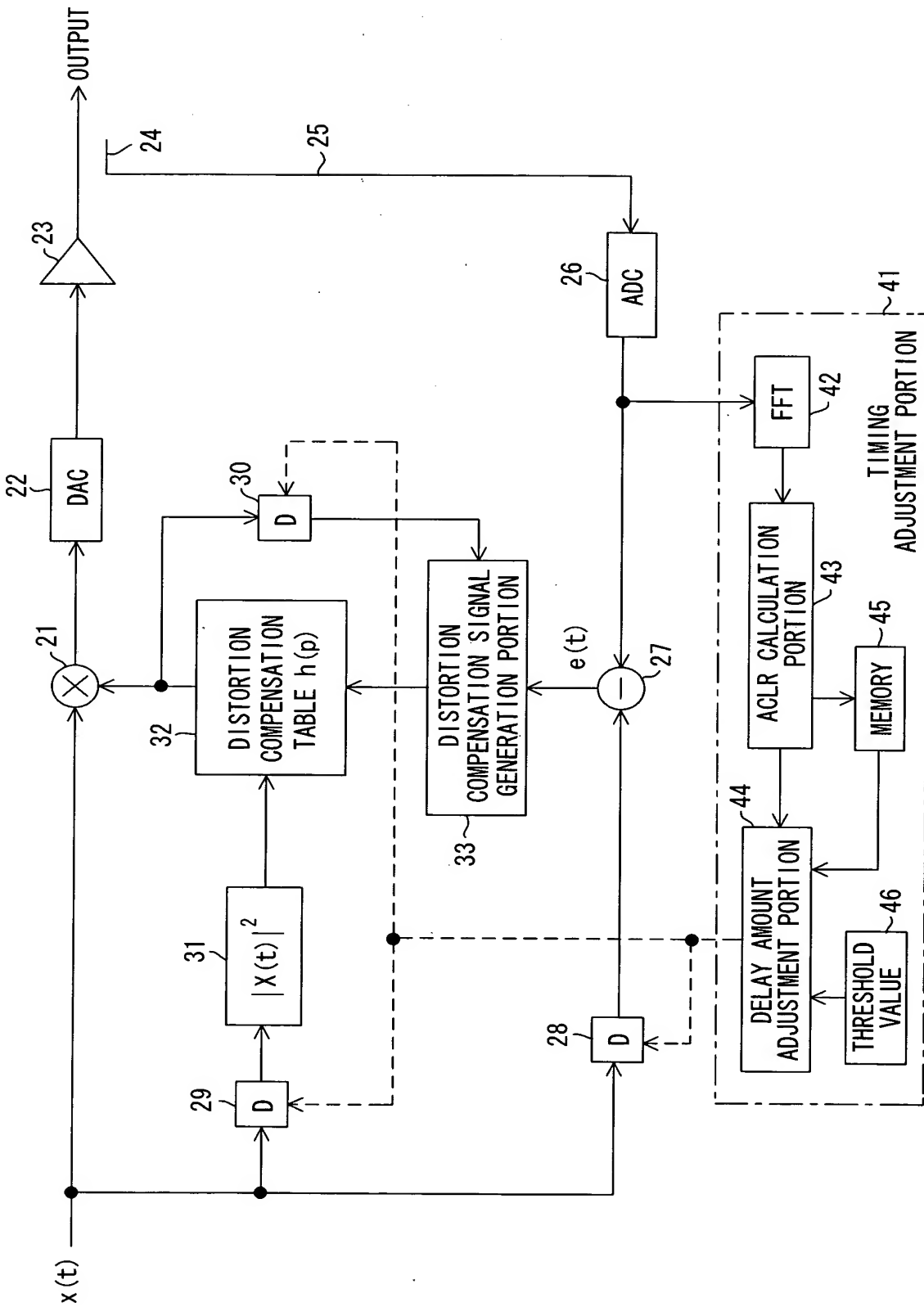
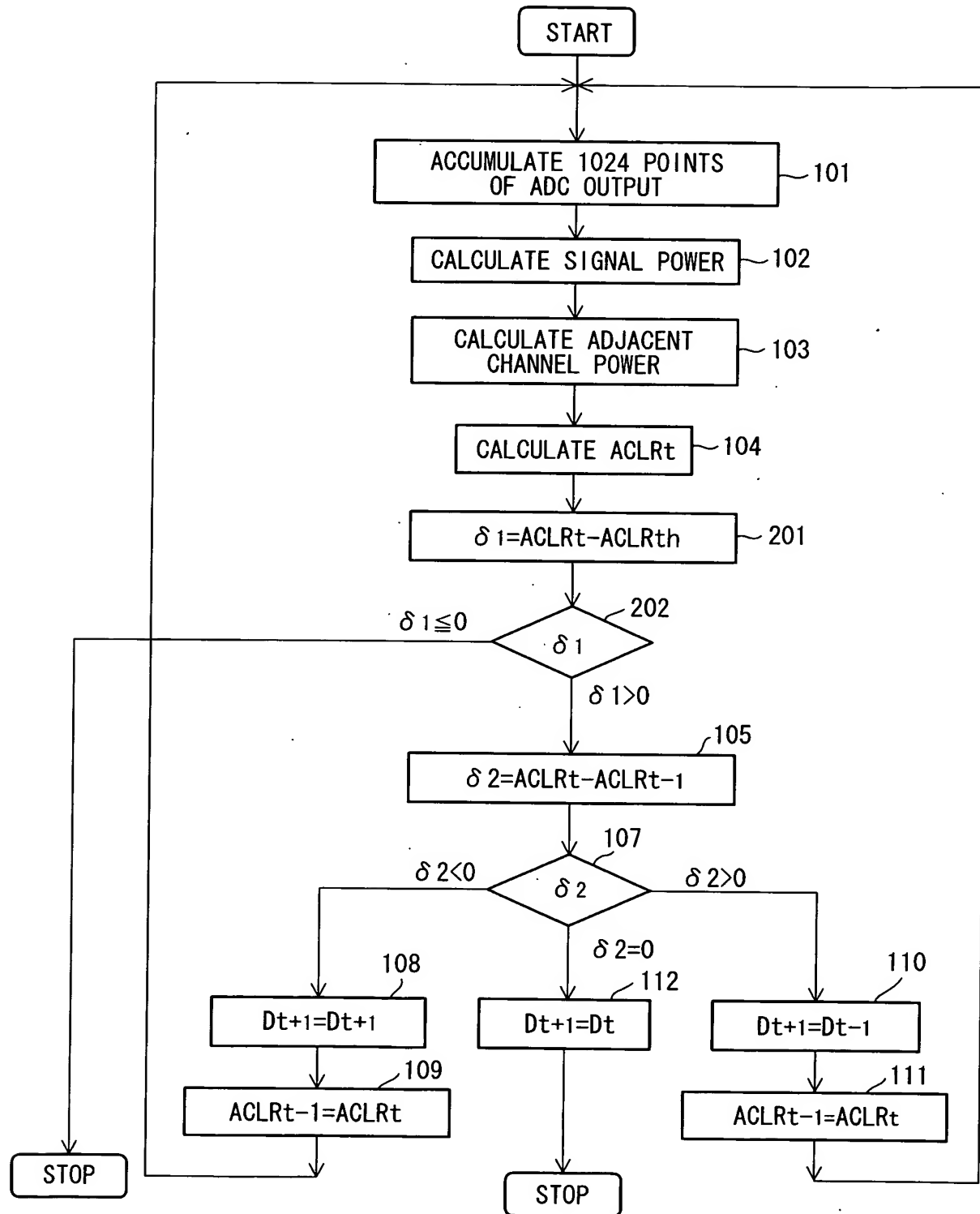


FIG. 8



8/28
FIG. 9

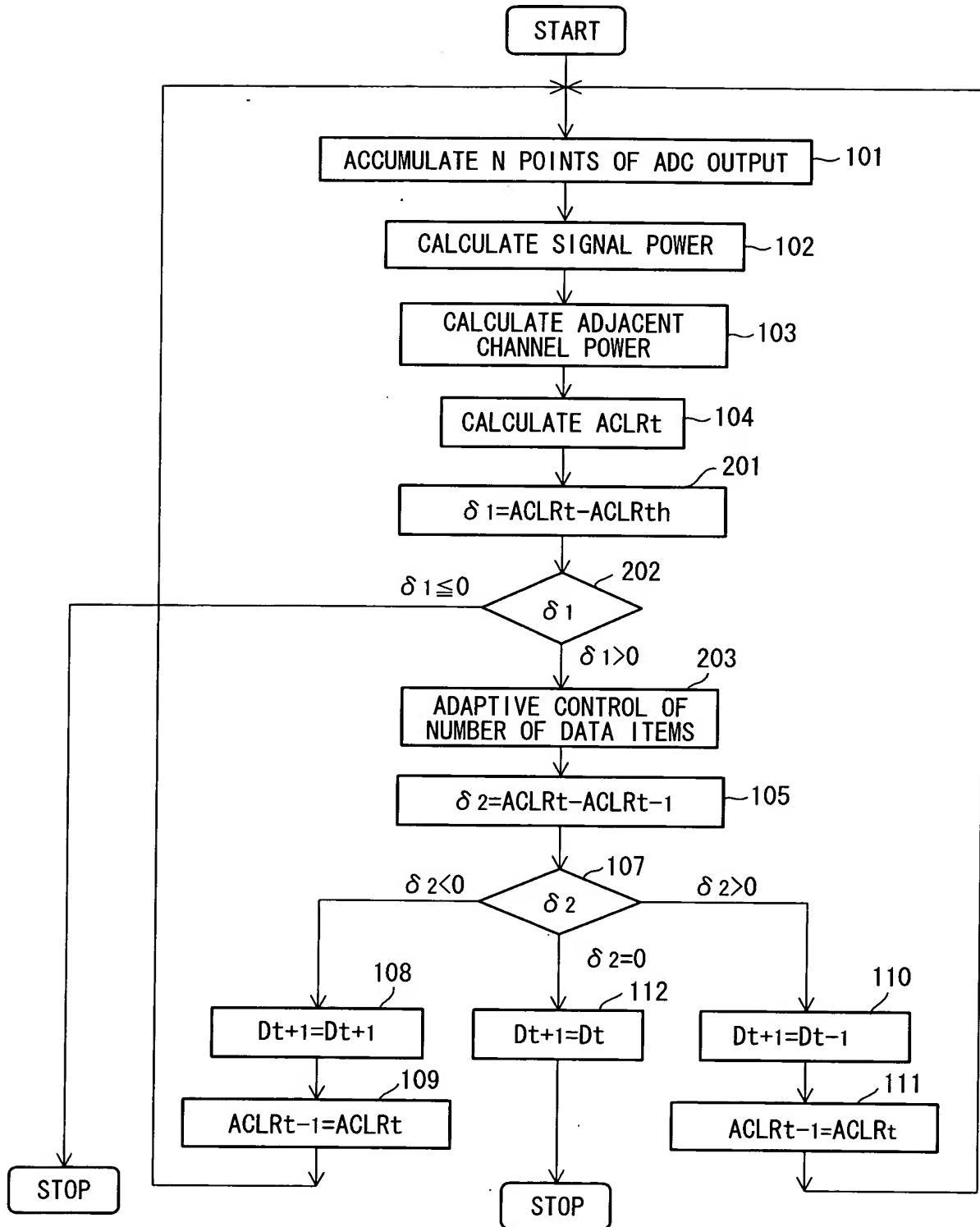
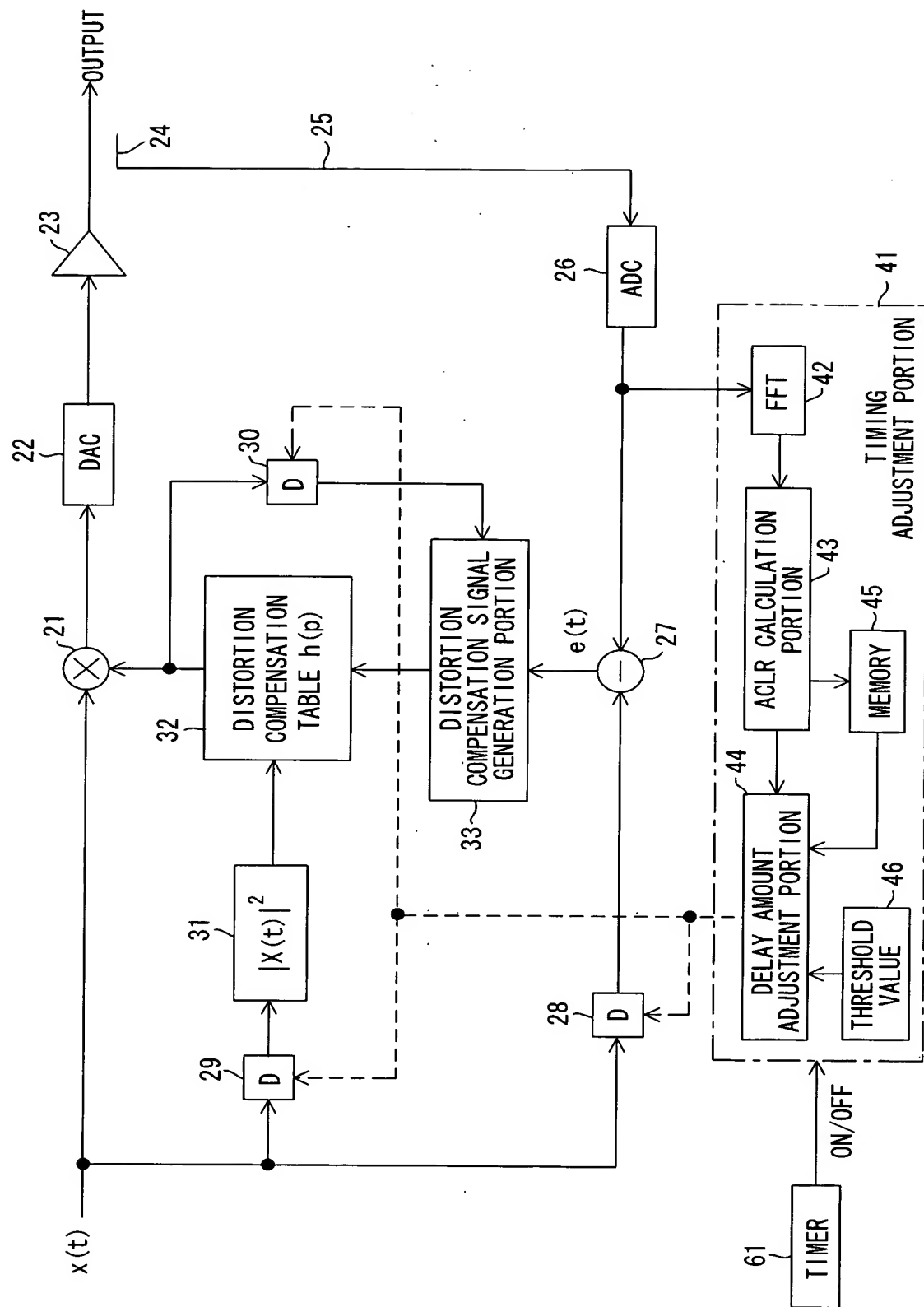


FIG. 10

9/28



10/28
FIG. 11

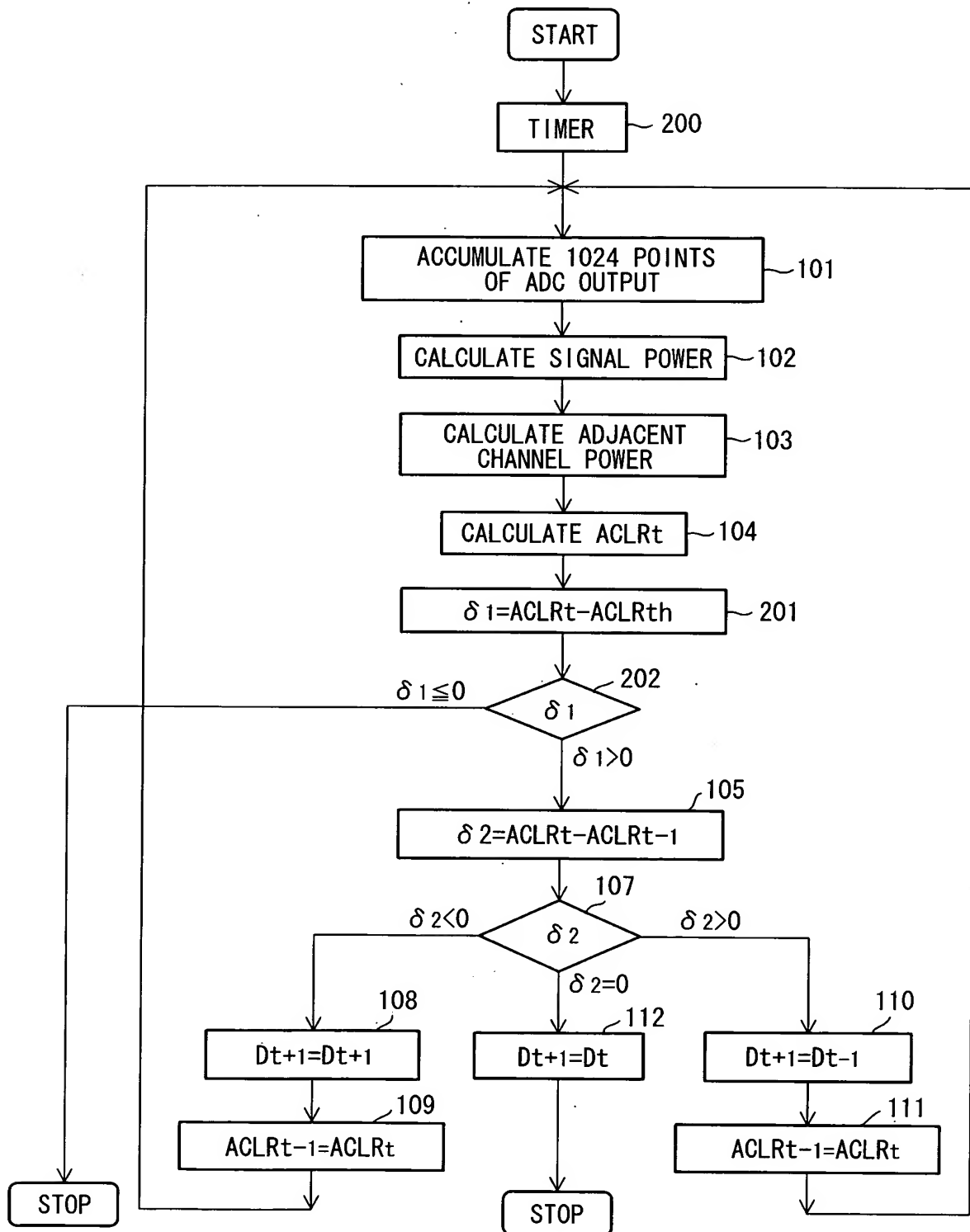


FIG. 12

11 / 28

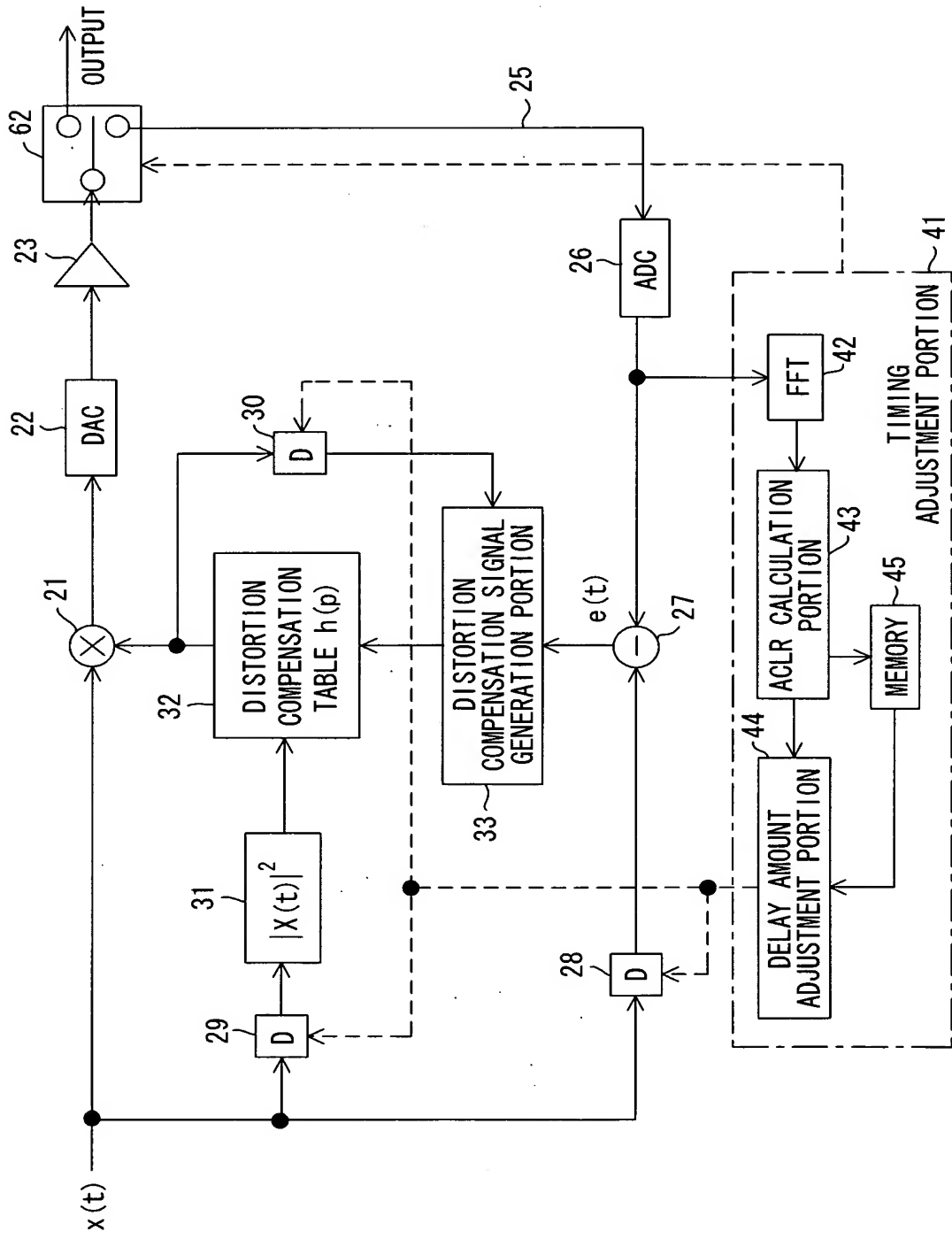


FIG. 13

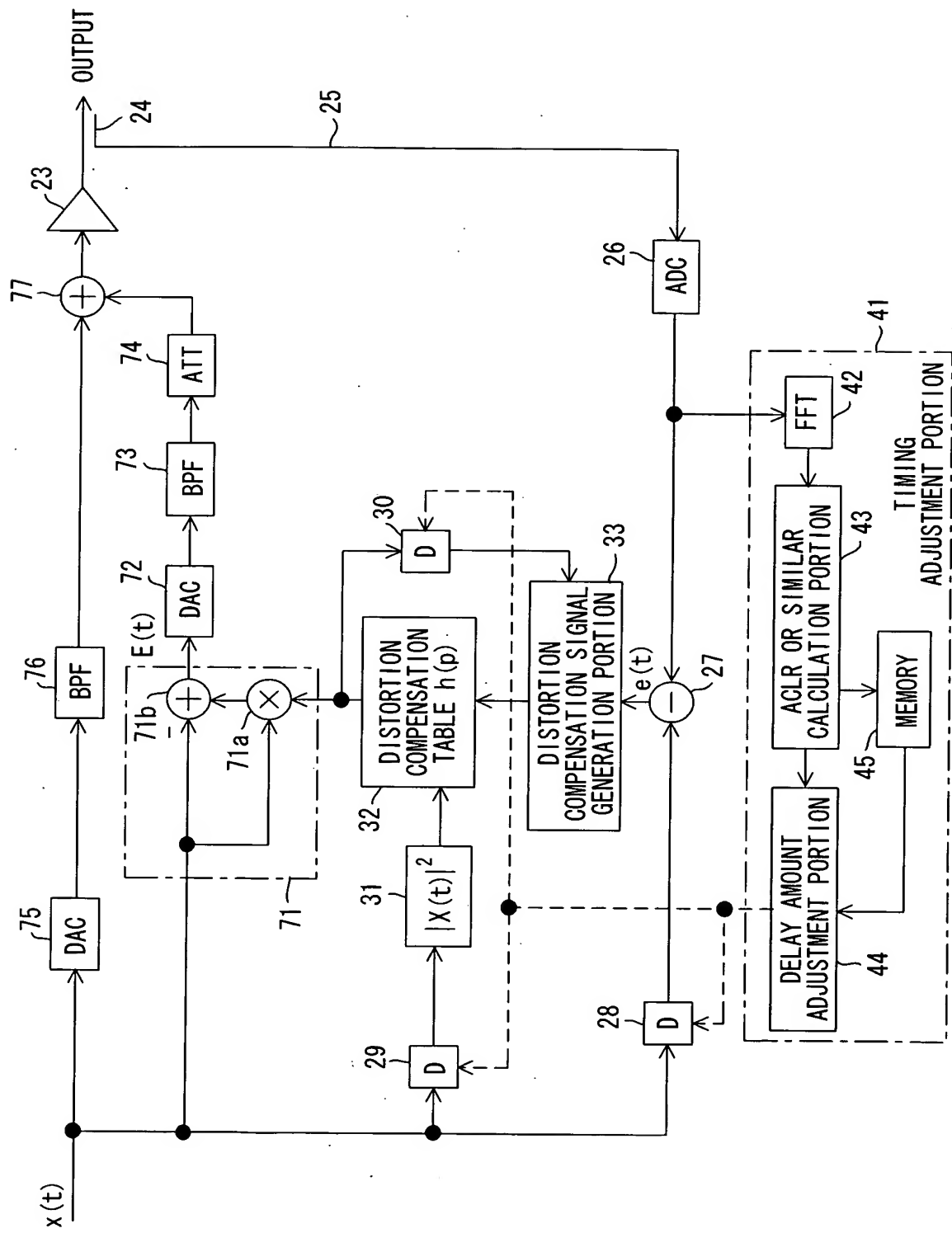


FIG. 14

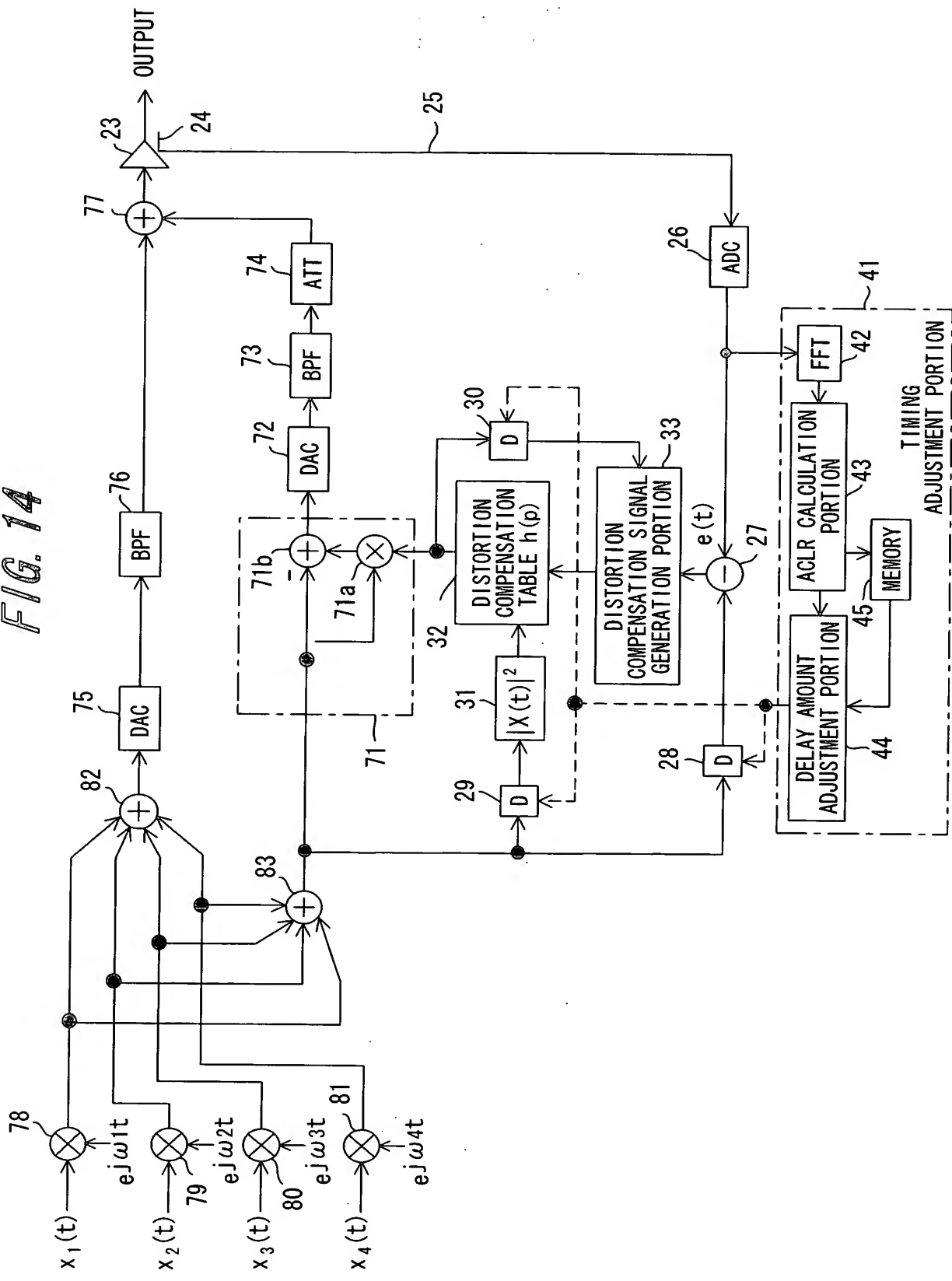


FIG. 15

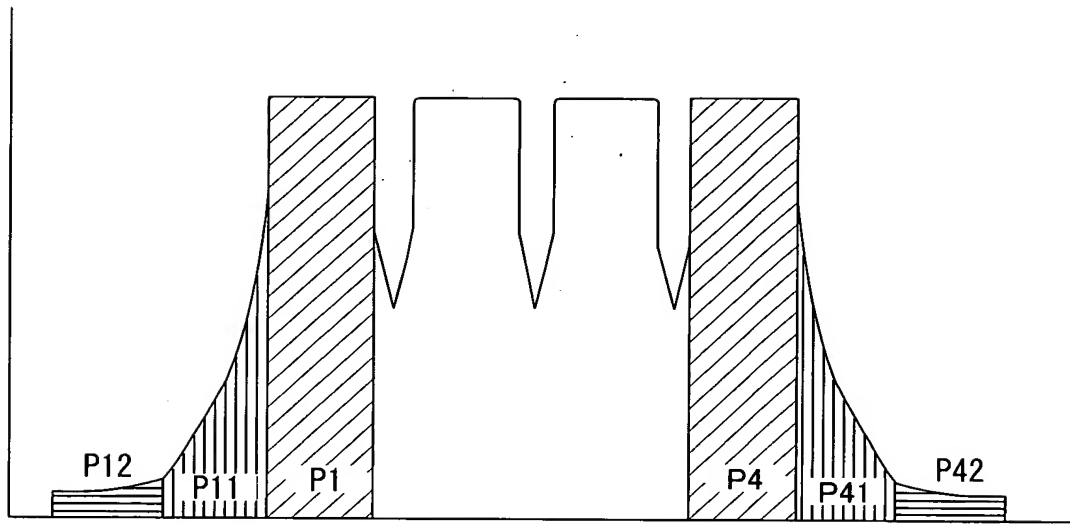


FIG. 16

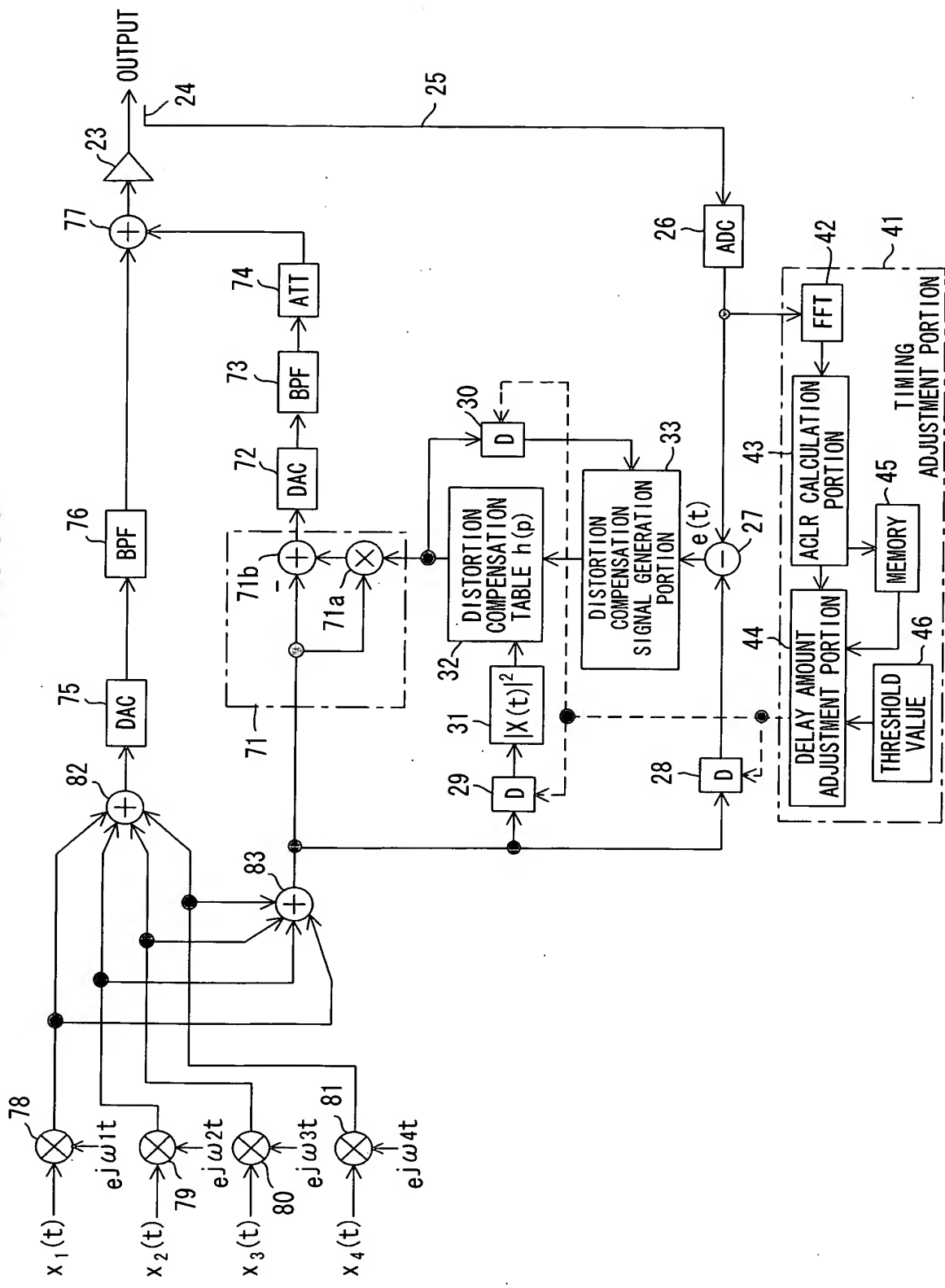


FIG. 17

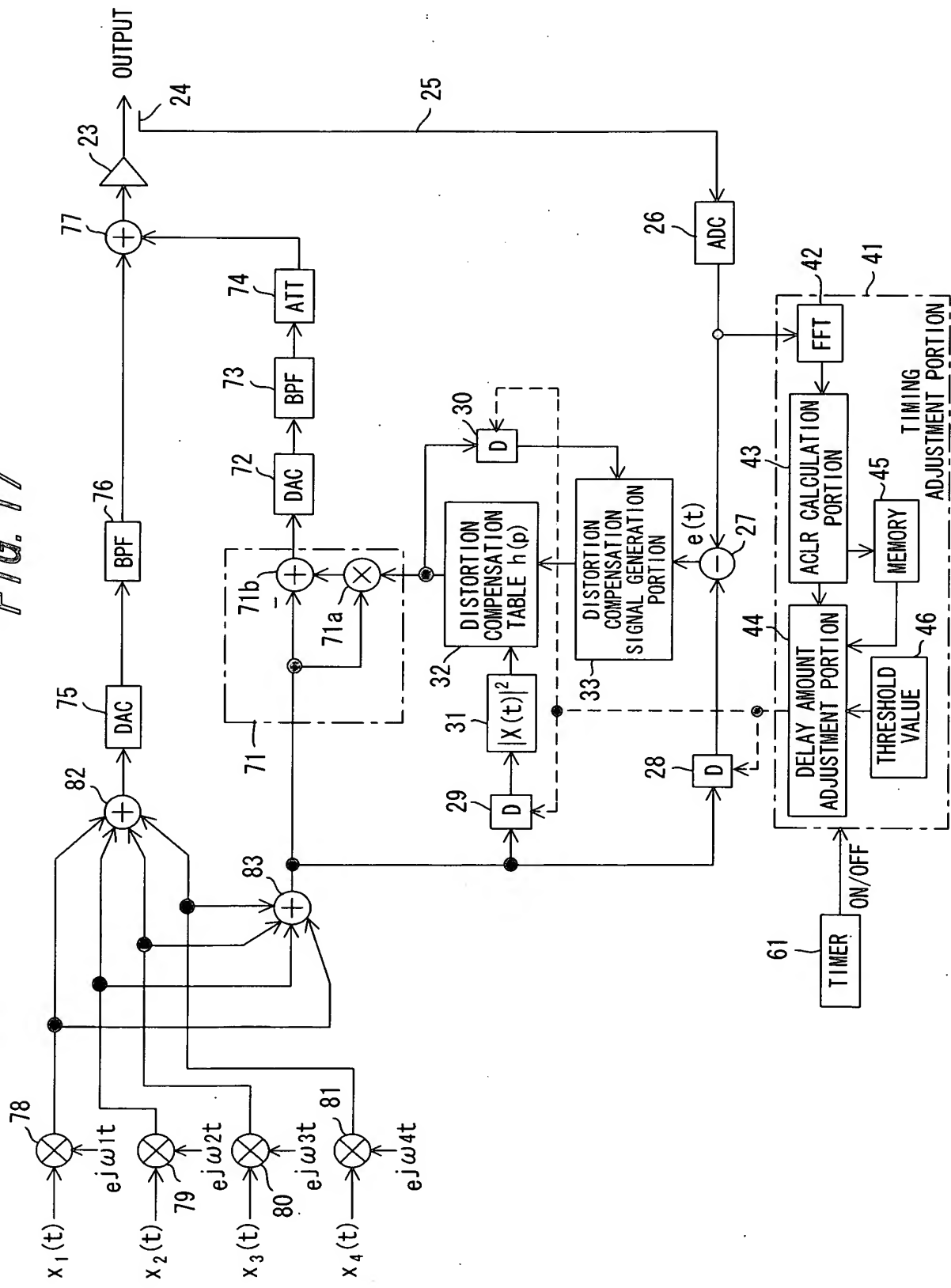


FIG. 18

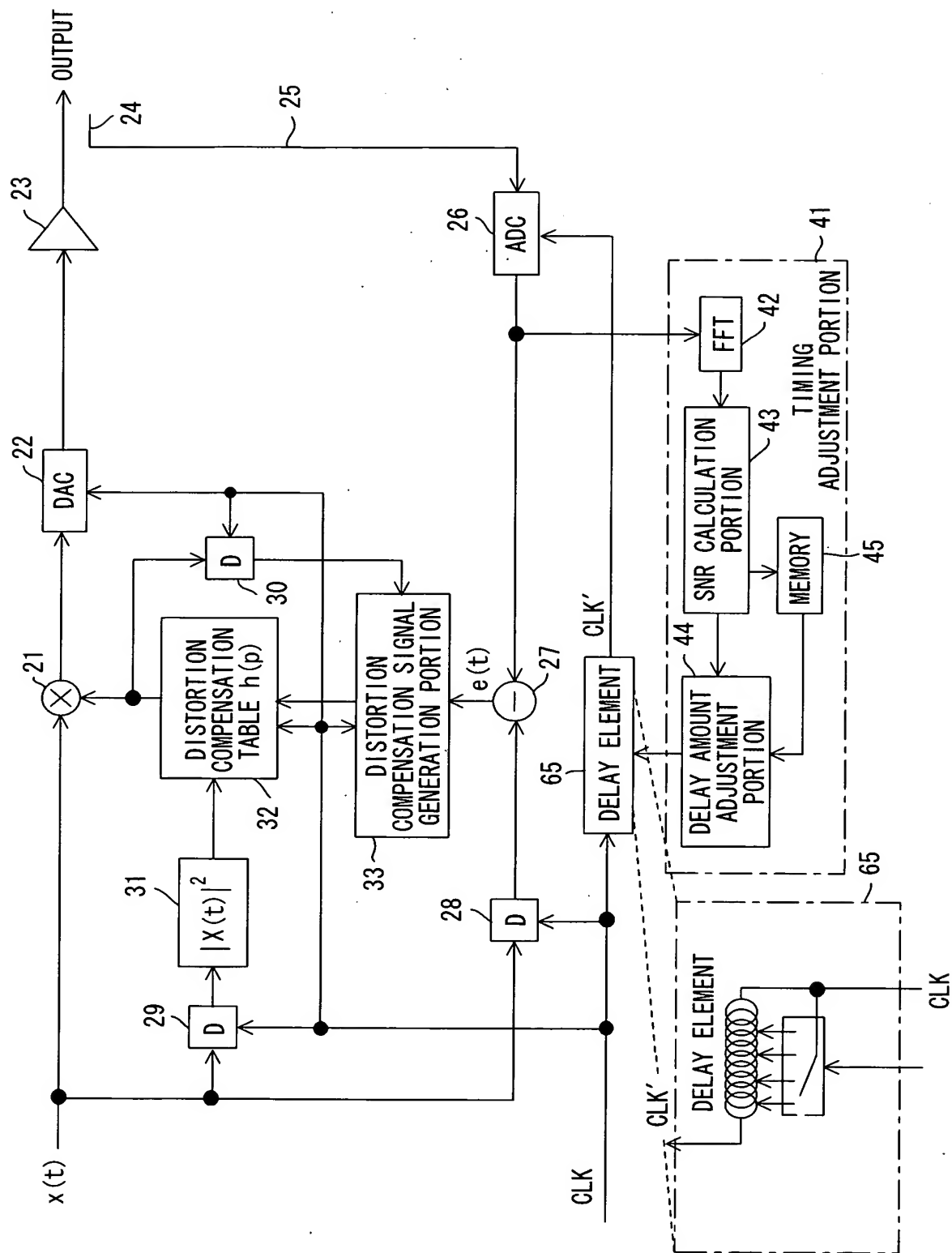


FIG. 19

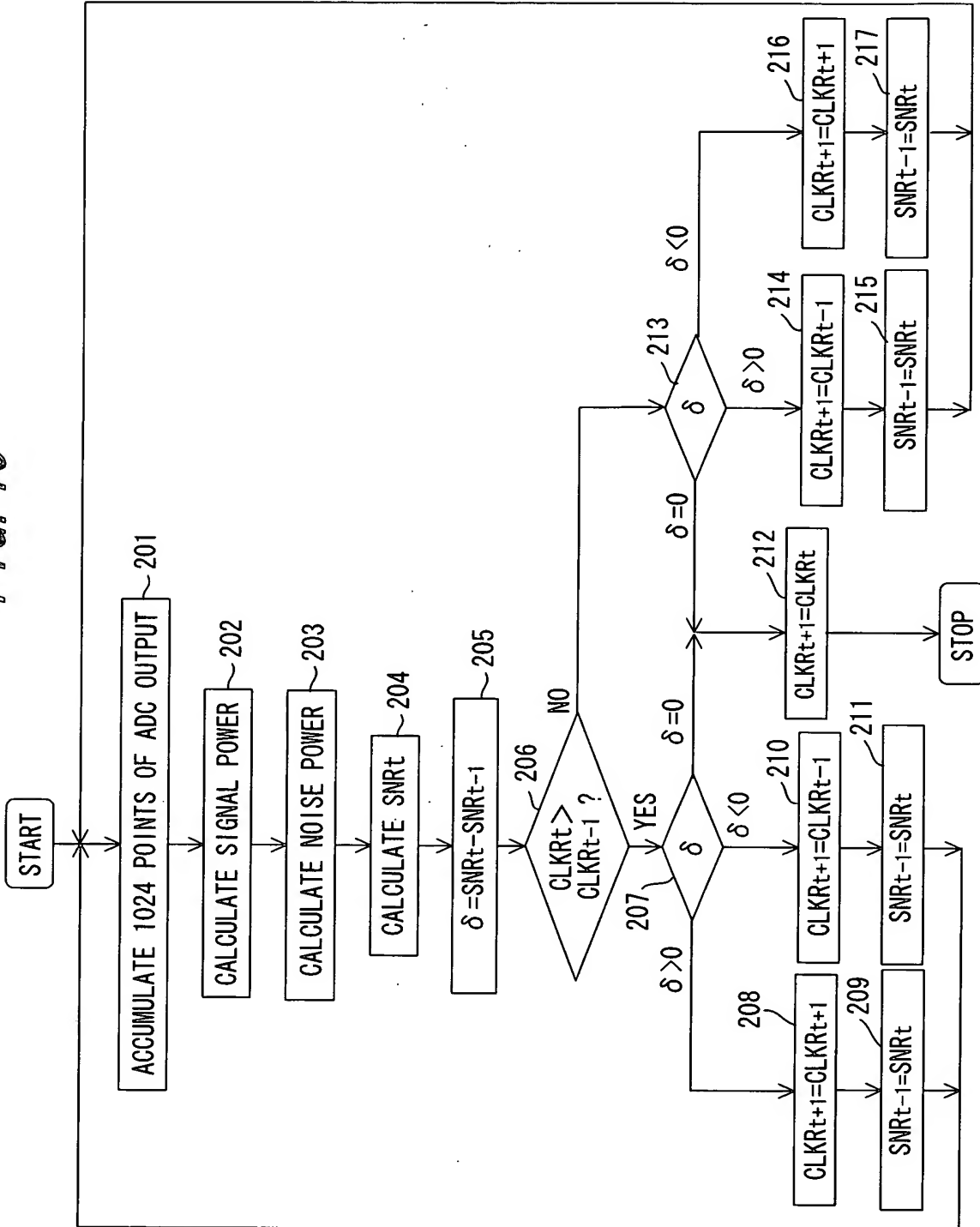
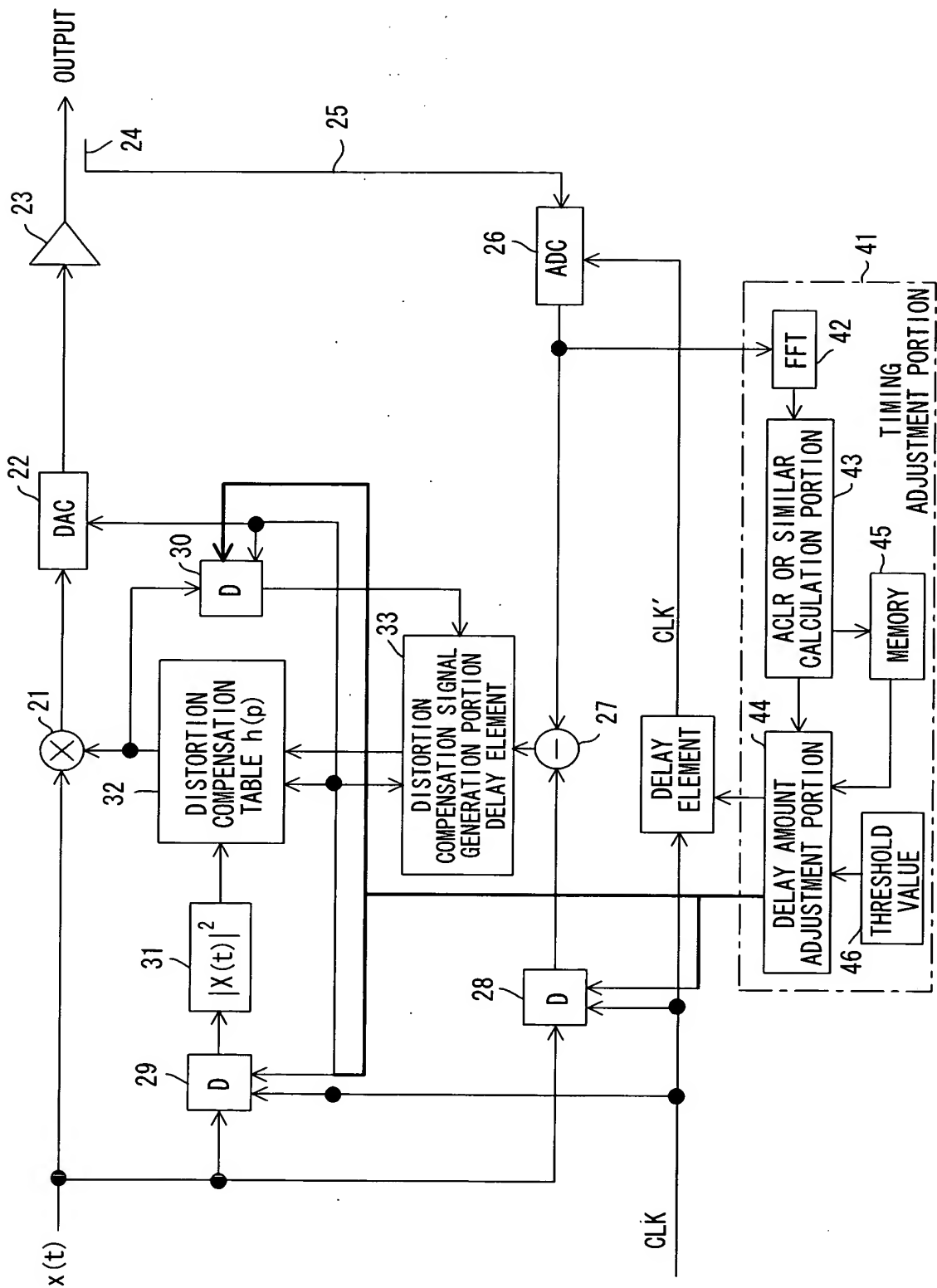


FIG. 20

19/28



20/28
FIG. 21

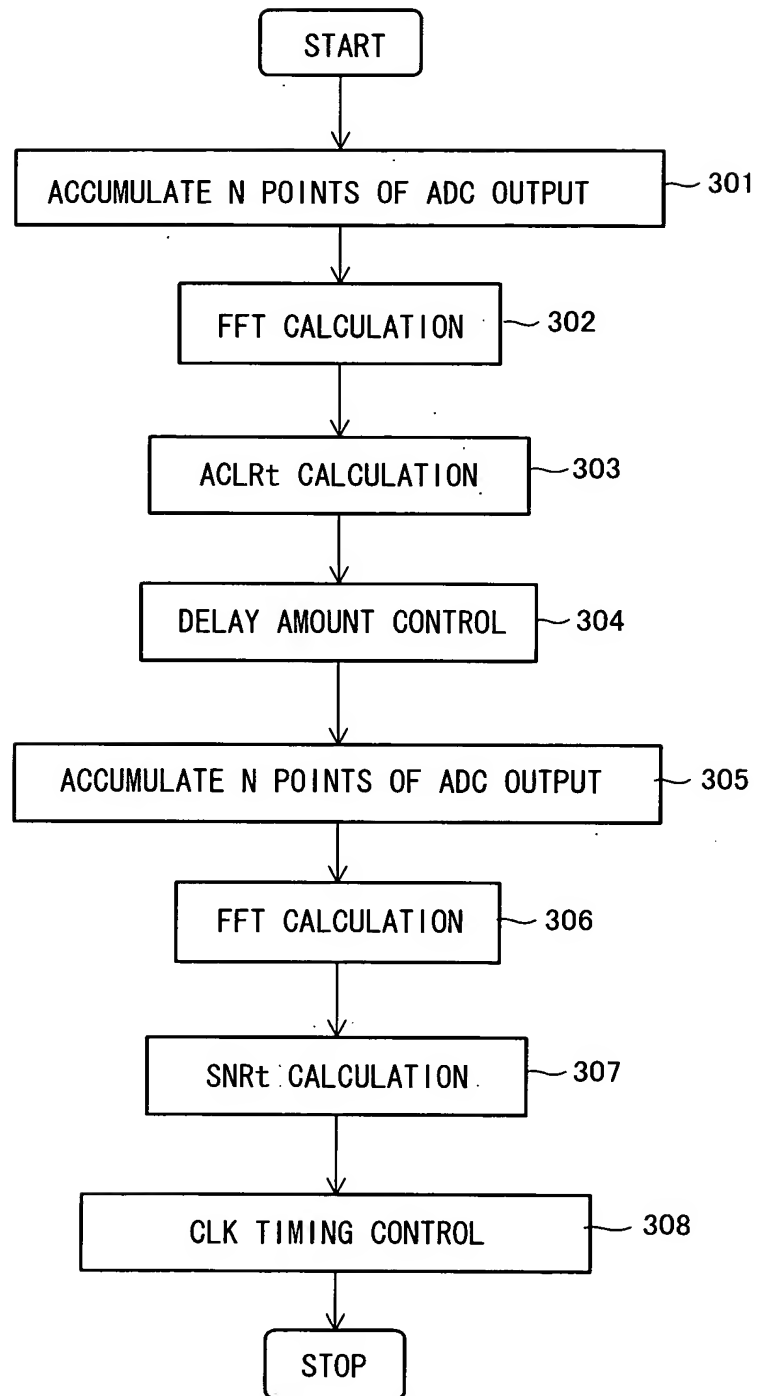


FIG. 22

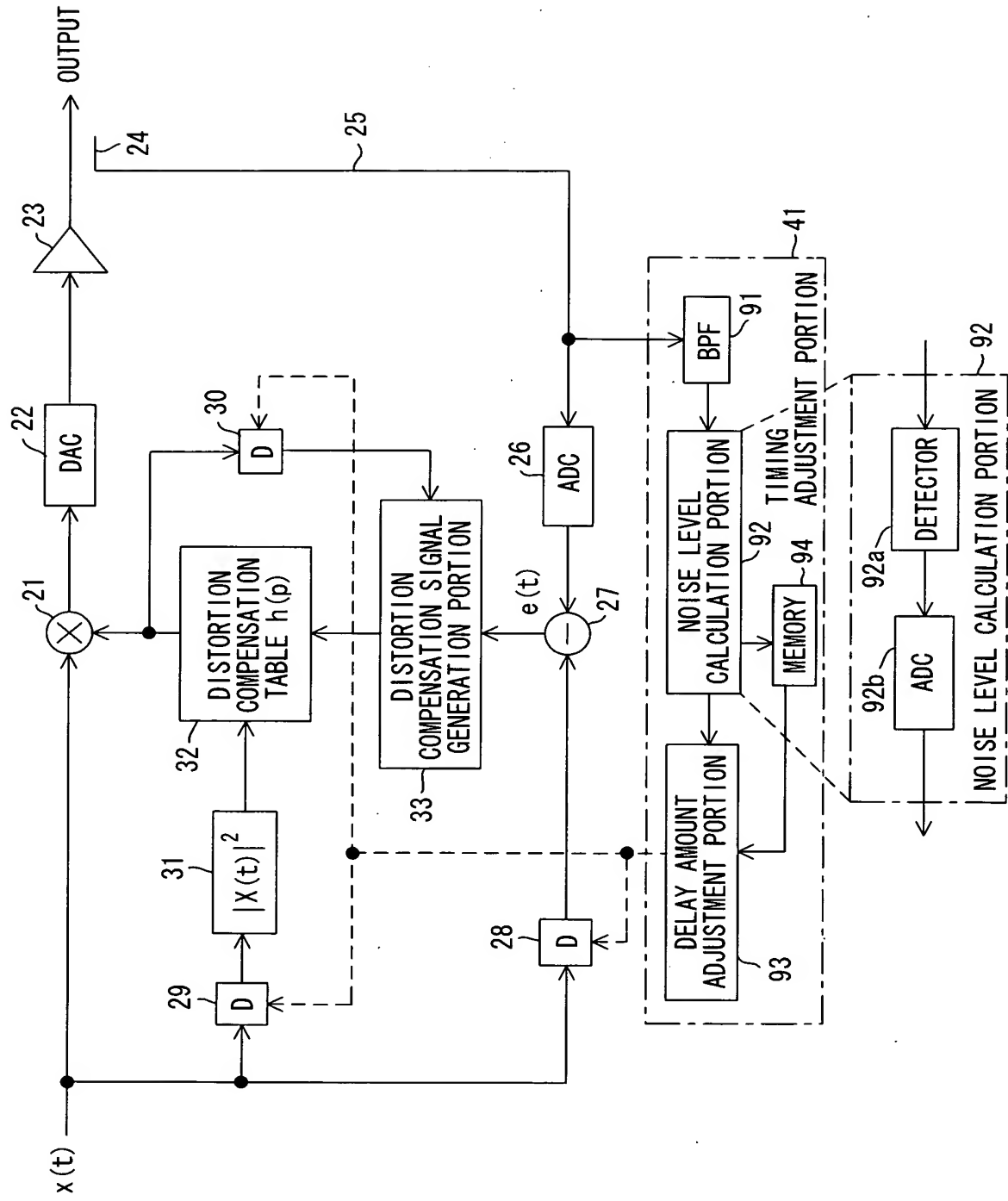


FIG. 23

(a)

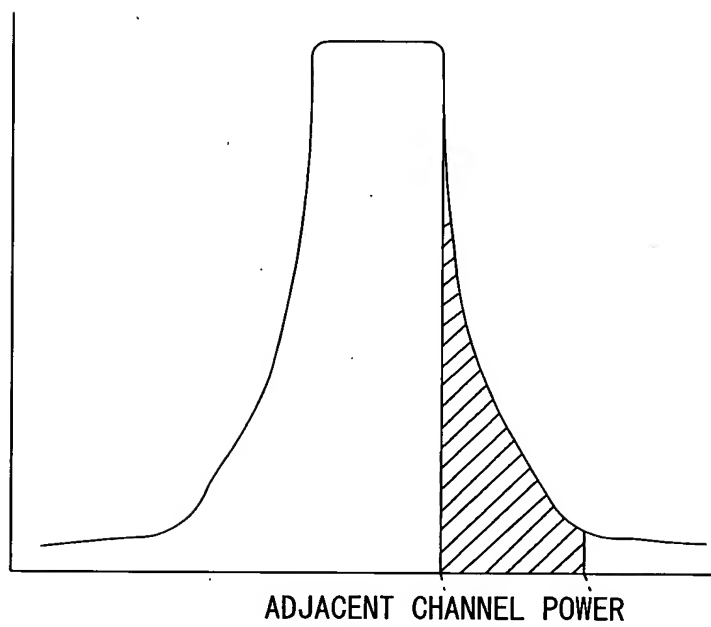
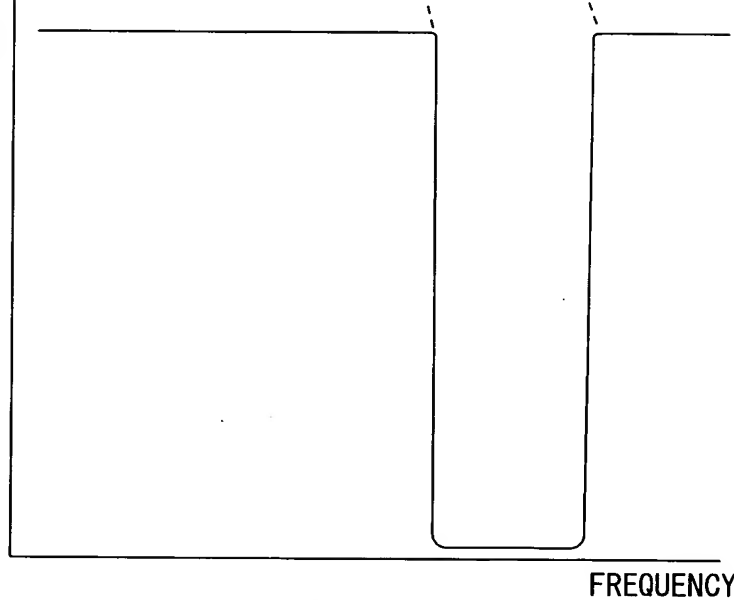
(b)
INSERTION LOSSEXAMPLE OF BAND-PASS FILTER
FREQUENCY CHARACTERISTIC

FIG. 24

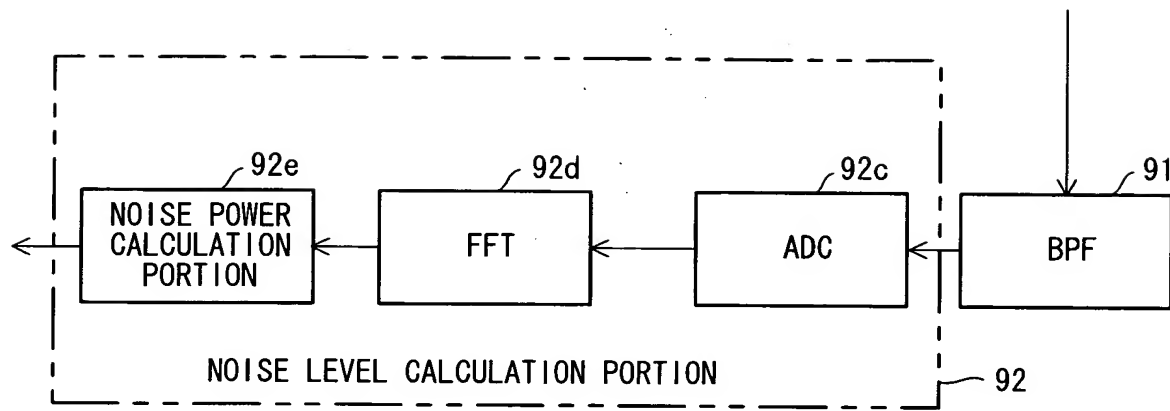


FIG. 25

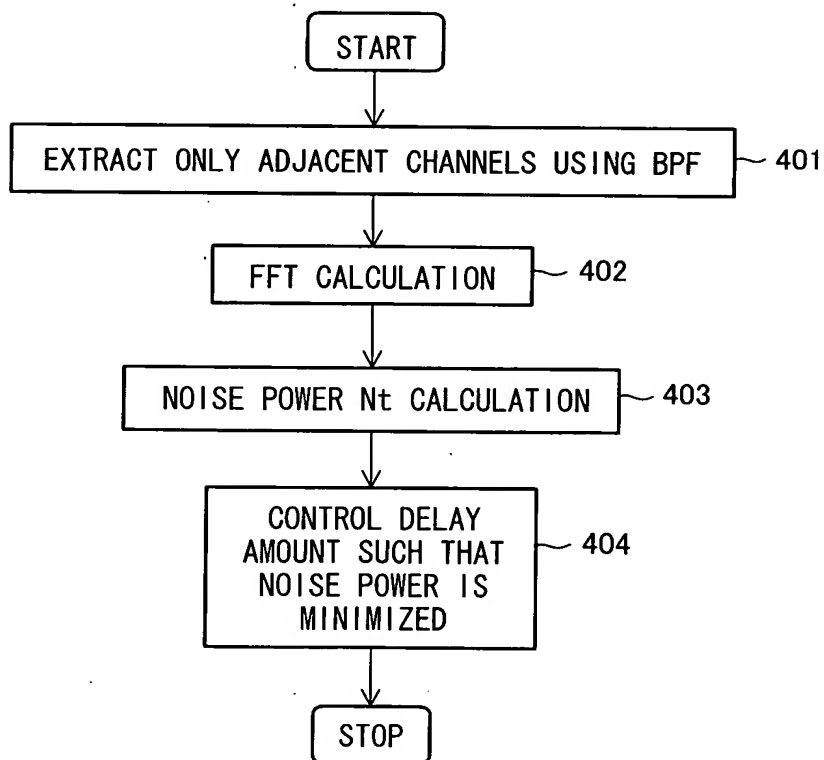


FIG. 26

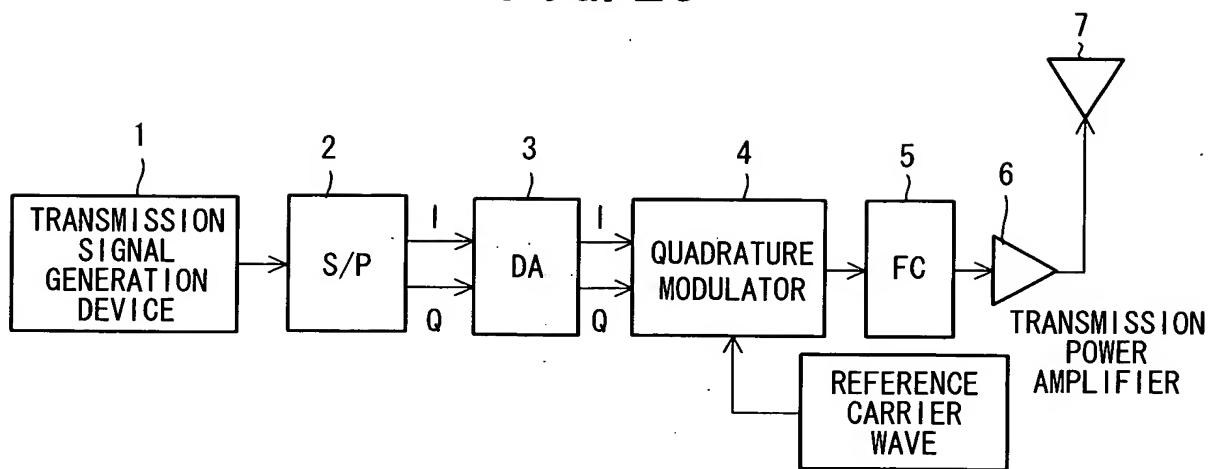


FIG. 27

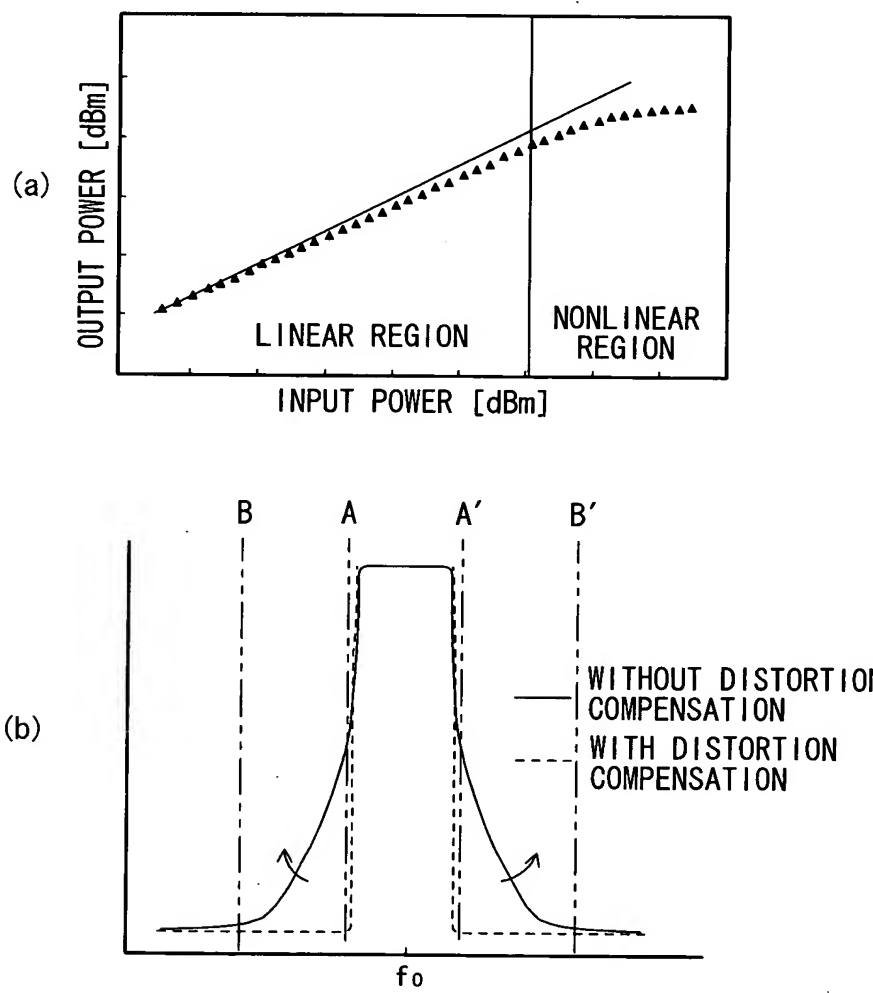


FIG. 28

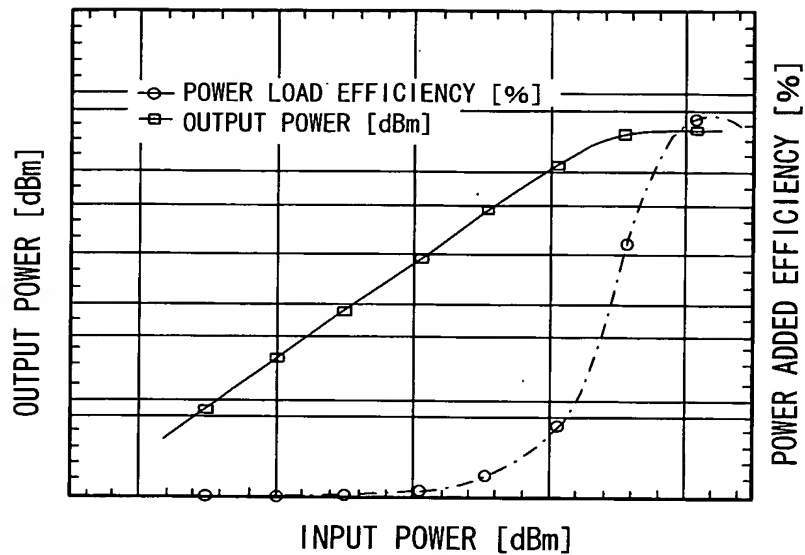


FIG. 29

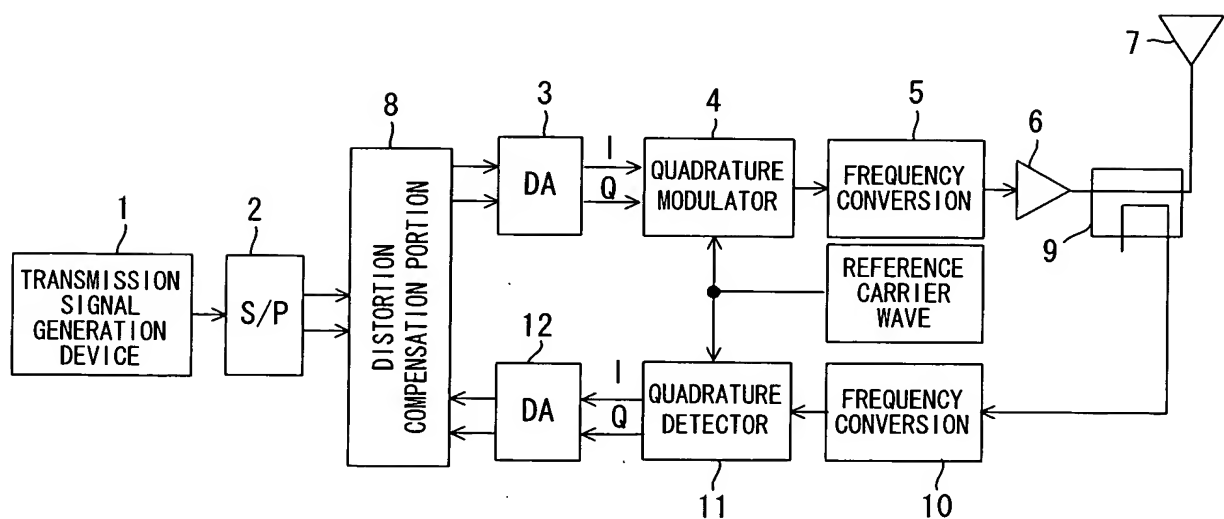


FIG. 30

26/28

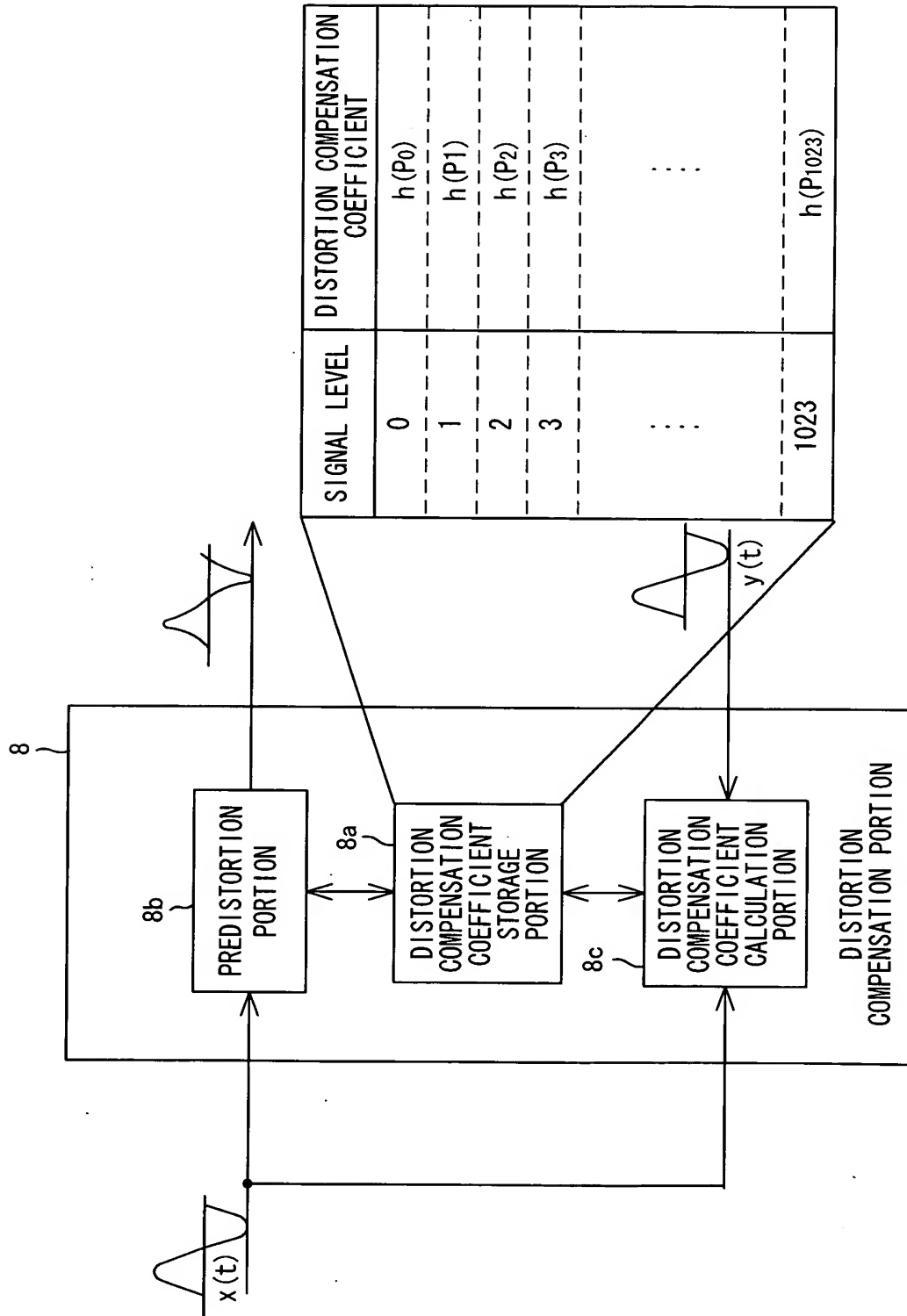


FIG. 31

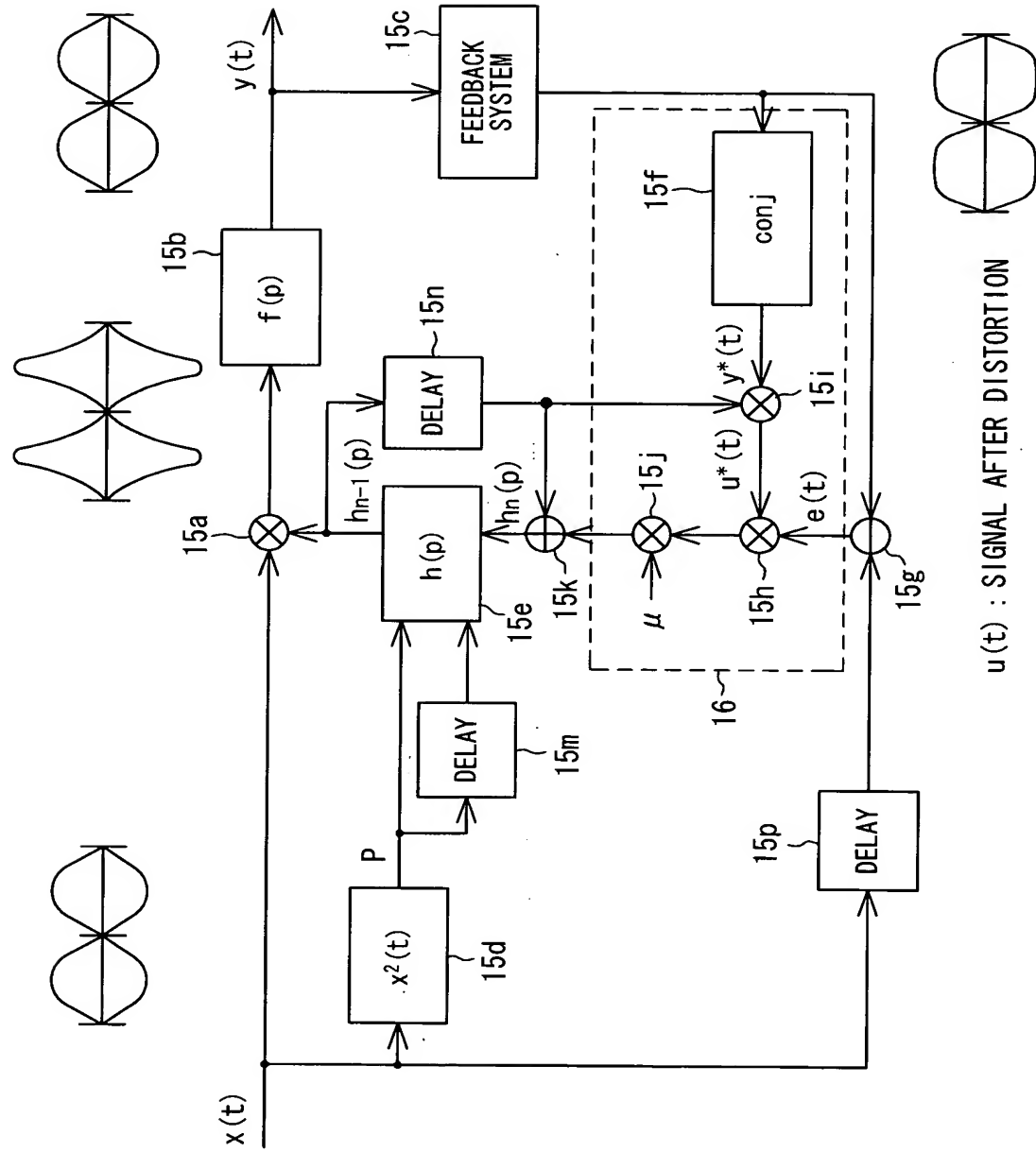


FIG. 32

